

Teoria $f(Q)$

Vitor Petri Silva

PPGFis - Ufes

Outubro/2024

Sumário

- 1 Introdução
- 2 Teoria
- 3 Cosmologia
- 4 Conclusão

Base

O espaço-tempo pode ser caracterizado por uma métrica e uma estrutura afim, determinados pelo tensor métrico $g_{\mu\nu}$ e uma conexão $\Gamma_{\mu\nu}^{\alpha}$, respectivamente. São as estruturas responsáveis por definir geometrias. A falha da conexão em ser compatível com a métrica é caracterizada pela não-metricidade

$$Q_{\alpha\mu\nu} \equiv \nabla_{\alpha} g_{\mu\nu}, \quad (1)$$

e a anti-simetria define a torção

$$T^{\alpha}{}_{\mu\nu} \equiv 2\Gamma^{\alpha}{}_{[\mu\nu]}. \quad (2)$$

Contorção e deformação

Se a conexão é simétrica e compatível com a métrica, chamamos de conexão de Levi-Civita. Essas duas condições fazem a conexão de Levi-Civita ser dada pelo símbolo de Christoffel da métrica

$$\left\{ \begin{smallmatrix} \alpha \\ \mu\nu \end{smallmatrix} \right\} = \frac{1}{2} g^{\alpha\lambda} (g_{\lambda\nu,\mu} + g_{\mu\lambda,\nu} - g_{\mu\nu,\lambda}). \quad (3)$$

Uma conexão geral $\Gamma_{\mu\nu}^{\alpha}$ pode ser convenientemente decomposta como

$$\Gamma_{\mu\nu}^{\alpha} = \left\{ \begin{smallmatrix} \alpha \\ \mu\nu \end{smallmatrix} \right\} + K_{\mu\nu}^{\alpha} + L_{\mu\nu}^{\alpha}, \quad (4)$$

com

$$K_{\mu\nu}^{\alpha} = \frac{1}{2} T_{\mu\nu}^{\alpha} + T_{(\mu}^{\alpha}{}_{\nu)}, \quad (5)$$

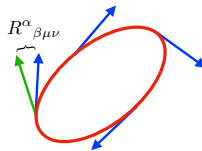
$$L_{\mu\nu}^{\alpha} = \frac{1}{2} Q_{\mu\nu}^{\alpha} - Q_{(\mu}^{\alpha}{}_{\nu)}. \quad (6)$$

a contorção e a deformação, respectivamente.

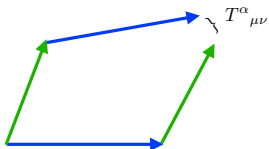
Trindade

Podemos então resumir os objetos geométricos que caracterizam nosso espaço-tempo:

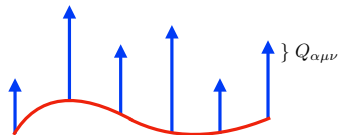
- Curvatura: Se o espaço é plano, $R^\alpha_{\beta\mu\nu}(\Gamma) = 0$. A curvatura mede a rotação experimentada por um vetor quando ele é transportado paralelamente ao longo de uma curva fechada.
- Torção: Se a conexão é simétrica, $T^\alpha_{\mu\nu}(\Gamma) = 0$. A torção mede o não fechamento de um paralelogramo formado por dois vetores infinitesimais quando são transportados paralelamente um ao longo do outro.
- Metricidade: Se a conexão é compatível com a métrica, $Q_{\alpha\mu\nu}(\Gamma, g) = 0$. A não-metricidade mede o quanto o comprimento dos vetores muda à medida que fazemos um transporte paralelo.



The rotation of a vector transported along a closed curve is given by the curvature: General Relativity.



The non-closure of parallelograms formed when two vectors are transported along each other is given by the torsion: Teleparallel Equivalent of General Relativity.



The variation of the length of a vector as it is transported is given by the non-metricity: Symmetric Teleparallel Equivalent of General Relativity.

Definições

Do tensor de não-metricidade $Q_{\alpha\mu\nu} = \nabla_{\alpha}g_{\mu\nu}$, deduzimos a deformação

$$L^{\alpha}{}_{\mu\nu} = \frac{1}{2}Q^{\alpha}{}_{\mu\nu} - Q_{(\mu\nu)}{}^{\alpha}, \quad (7)$$

que mede a diferença da conexão Levi-Civita com a parte simétrica da conexão completa. É conveniente definirmos também o conjugado da não-metricidade, dado por

$$P^{\alpha}{}_{\mu\nu} = -\frac{1}{2}L^{\alpha}{}_{\mu\nu} + \frac{1}{4}\left(Q^{\alpha} - \tilde{Q}^{\alpha}\right)g_{\mu\nu} - \frac{1}{4}\delta^{\alpha}_{(\mu}Q_{\nu)}, \quad (8)$$

onde os dois traços independentes $Q_{\alpha} = g^{\mu\nu}Q_{\alpha\mu\nu}$ e $\tilde{Q}_{\alpha} = g^{\mu\nu}Q_{\mu\alpha\nu}$ da não-metricidade entram.

Definições

Introduzimos o escalar de não-metricidade como

$$Q = -Q_{\alpha\mu\nu} P^{\alpha\mu\nu}. \quad (9)$$

Perceba que que $P^{\alpha\mu\nu}$ satisfaz

$$P^{\alpha\mu\nu} = -\frac{1}{2} \frac{\partial Q}{\partial Q_{\alpha\mu\nu}}. \quad (10)$$

Usamos então o escalar da não-metricidade para a ação

$$\mathcal{S} = \int d^4x \sqrt{-g} \left[-\frac{1}{2} f(Q) + \mathcal{L}_M \right], \quad (11)$$

onde \mathcal{L}_M é a lagrangiana de matéria.

Reparametrização

Como estamos trabalhando em um espaço plano e com uma conexão sem torção, então podemos sair da conexão trivial para a atual através de uma mudança de coordenadas. A conexão pode ser parametrizada por

$$\Gamma^\alpha_{\mu\beta} = \frac{\partial x^\alpha}{\partial \xi^\rho} \partial_\mu \partial_\beta \xi^\rho. \quad (12)$$

$\xi^\alpha = \xi^\alpha(x^\mu)$ é uma relação inversível e $\partial x^\alpha / \partial \xi^\rho$ é o inverso do Jacobiano correspondente. Definimos então essas coordenadas de calibre coincidente e as quantidades calculadas sob esse calibre serão denotadas com um anel sobre elas $\mathring{\Gamma}^\alpha_{\mu\nu} = 0$.

Calibre coincidente

No calibre coincidente, o tensor de não-metricidade será dado por

$$\dot{Q}_{\alpha\mu\nu} = \partial_\alpha g_{\mu\nu}, \quad (13)$$

enquanto que em um calibre arbitrário temos

$$\begin{aligned} Q_{\alpha\mu\nu} &= \partial_\alpha g_{\mu\nu} - 2\Gamma^\lambda_{\alpha(\mu} g_{\nu)\lambda} \\ &= \dot{Q}_{\alpha\mu\nu} - 2\frac{\partial x^\lambda}{\partial \xi^\rho} \partial_\alpha \partial_{(\mu} \xi^\rho g_{\nu)\lambda}. \end{aligned} \quad (14)$$

Variando com relação a métrica

Variando a ação com relação a métrica temos as equações de campo dadas por

$$\begin{aligned} & \frac{2}{\sqrt{-g}} \nabla_{\alpha} (\sqrt{-g} f_Q P^{\alpha}_{\mu\nu}) + \frac{1}{2} g_{\mu\nu} f \\ & + f_Q (P_{\mu\alpha\beta} Q_{\nu}{}^{\alpha\beta} - 2 Q_{\alpha\beta\mu} P^{\alpha\beta}_{\nu}) = T_{\mu\nu}, \end{aligned} \quad (15)$$

onde $f_Q = \partial f / \partial Q$. Levantando um dos índices chegamos em uma formulação mais compacta

$$\frac{2}{\sqrt{-g}} \nabla_{\alpha} (\sqrt{-g} f_Q P^{\alpha\mu}_{\nu}) + \frac{1}{2} \delta^{\mu}_{\nu} f + f_Q P^{\mu\alpha\beta} Q_{\nu\alpha\beta} = T^{\mu}_{\nu}. \quad (16)$$

Variando com relação a conexão

Notando que a variação da conexão com relação a ξ^α é equivalente a realizar um difeomorfismo de modo que

$$\delta_\xi \Gamma^\alpha_{\mu\beta} = -\mathcal{L}_\xi \Gamma^\alpha_{\mu\beta} = -\nabla_\mu \nabla_\beta \xi^\alpha, \quad (17)$$

onde usamos que a conexão é plana e livre de torção. Assim, na ausência de hipermomento, as equações do campo da conexão são dadas por

$$\nabla_\mu \nabla_\nu (\sqrt{-g} f_Q P^{\mu\nu}{}_\alpha) = 0. \quad (18)$$

Das equações de campo da métrica e da conexão, pode-se verificar que $\mathcal{D}_\mu T^\mu{}_\nu = 0$, onde \mathcal{D}_μ é a derivada covariante, como deveria em virtude da invariância do difeomorfismo.

Difeomorfismo

Para mostrar a conservação de setor de matéria e nas identidades de Bianchi, vamos fazer um difeomorfismo dado por $x^\mu \rightarrow x^\mu + \zeta^\mu$, o escalar de não-metricidade muda com

$$\delta_\zeta Q = \frac{\partial Q}{\partial g_{\mu\nu,\alpha}} \delta_\zeta g_{\mu\nu,\alpha} + \frac{\partial Q}{\partial g_{\mu\nu}} \delta_\zeta g_{\mu\nu} + \frac{\partial Q}{\partial \Gamma^\alpha_{\mu\nu}} \delta_\zeta \Gamma^\alpha_{\mu\nu}. \quad (19)$$

O primeiro termo é dado por

$$\frac{\partial Q}{\partial g_{\mu\nu,\alpha}} \delta_\zeta g_{\mu\nu,\alpha} = 2P^{\alpha\mu\nu} \mathcal{L}_\zeta \mathring{Q}_{\alpha\mu\nu}, \quad (20)$$

onde

$$\begin{aligned} \mathcal{L}_\zeta \mathring{Q}_{\alpha\mu\nu} = & \zeta^\rho \partial_\rho \partial_\alpha g_{\mu\nu} + \partial_\alpha \zeta^\rho \partial_\rho g_{\mu\nu} + 2\partial_\alpha g_{\rho(\mu} \partial_{\nu)} \zeta^\rho \\ & + 2g_{\rho(\mu} \partial_{\nu)} \partial_\alpha \zeta^\rho. \end{aligned} \quad (21)$$

Difeomorfismo

O último termo é dado por

$$\begin{aligned}
 \frac{\partial Q}{\partial \Gamma^\alpha_{\mu\nu}} \delta_\zeta \Gamma^\alpha_{\mu\nu} &= \frac{\partial Q}{\partial Q_{\alpha\beta\gamma}} \frac{\partial Q_{\alpha\beta\gamma}}{\partial \Gamma^\kappa_{\mu\nu}} \mathcal{L}_\zeta \Gamma^\kappa_{\mu\nu} \\
 &= -2P^{\alpha\beta\gamma} \left(-2\delta^\mu_\alpha \delta^\nu_{(\beta} g_{\gamma)\lambda} \right) (-\nabla_\mu \nabla_\nu \zeta^\lambda) \\
 &= -4P^{\alpha\beta\gamma} g_{\lambda(\beta} \nabla_{\gamma)} \nabla_\alpha \zeta^\lambda.
 \end{aligned} \tag{22}$$

É possível então mostrar que o escalar de não-metricidade varia sob um difeomorfismo com

$$\delta_\zeta Q = \frac{\partial Q}{\partial Q_{\alpha\mu\nu}} \mathcal{L}_\zeta Q_{\alpha\mu\nu} + \frac{\partial Q}{\partial g_{\mu\nu}} \mathcal{L}_\zeta g_{\mu\nu} = -\mathcal{L}_\zeta Q, \tag{23}$$

e então a ação é invariante sob um difeomorfismo.

Difeomorfismo

No entanto, quando fixamos o calibre coincidente, a ação não é mais invariante sob um difeomorfismo. Temos

$$\delta_{\zeta} \dot{\mathcal{S}} = -2 \int d^4 x \zeta^{\lambda} \left[\sqrt{-g} (\partial_{\alpha} \partial_{\gamma} f_Q) \dot{P}^{\alpha\gamma}{}_{\lambda} + 2 (\partial_{(\alpha} f_Q) (\partial_{\gamma)} \sqrt{-g} \dot{P}^{\alpha\gamma}{}_{\lambda}) \right]. \quad (24)$$

Tiramos a derivada total e usamos a identidade

$$\partial_{\alpha} \partial_{\mu} (\sqrt{-g} \dot{P}^{\alpha\mu}{}_{\nu}) = 0. \quad (25)$$

Portanto, somente quando $f_{QQ} = 0$ a ação é invariante sob um difeomorfismo.

Background

Abordando a cosmologia a nível de background, ela não se difere das teorias $f(T)$. Considerando a métrica de FLRW

$$ds^2 = -dt^2 + a^2(t)d\vec{x}^2, \quad (26)$$

onde $a(t)$ é o fator de escala. Fixando o calibre de coincidência, temos que o escalar de não metricidade se torna

$$Q = 6H^2, \quad (27)$$

onde $H \equiv \dot{a}/a$ é o parâmetro de Hubble. Assumindo que a matéria é um fluido perfeito com tensor energia-momento dado por

$$T_{\mu\nu} = (\rho + p)u_\mu u_\nu + pg_{\mu\nu}, \quad (28)$$

onde p e ρ são a pressão e a densidade de energia do fluido, respectivamente, e u_μ é a quadri-velocidade que obedece a normalização $u_\mu u^\mu = -1$.

Dinâmica

As equações cosmológicas dinâmicas serão

$$6f_Q H^2 - \frac{1}{2}f = \rho \quad (29)$$

$$(12H^2 f_{QQ} + f_Q)\dot{H} = -\frac{1}{2}(\rho + p). \quad (30)$$

As teorias $f(Q)$ têm a propriedade especial de manter uma *residual time-reparameterisation invariance*, e por isso os campos de matéria satisfazem a equação da continuidade

$$\dot{\rho} = -3H(\rho + p). \quad (31)$$

Classes

Há uma classe de teorias que nos dão uma evolução de *background* idêntica à RG. Essas classes são obtidas impondo

$$Qf_Q - \frac{1}{2}f = \frac{Q}{16\pi G}, \quad (32)$$

cuja solução é

$$f = \frac{1}{8\pi G} \left(Q + M\sqrt{Q} \right), \quad (33)$$

onde M alguma escala de massa. Chegamos em RG quando $M = 0$, porém existe uma grande classe de teorias que a evolução do *background* equivale à RG.

Classes

Por outro lado, a *Symmetric Teleparallel Equivalent of GR* (STEGR) com uma lei de potência, dada por

$$f = \frac{1}{8\pi G} \left[Q - 6\lambda M^2 \left(\frac{Q}{6M^2} \right)^\alpha \right], \quad (34)$$

com α e λ sendo parâmetros adimensionais, dão várias soluções aplicáveis tanto ao Universo tardio quanto ao Universo primordial. Para esses modelos, as equações de Friedmann são modificadas para

$$H^2 \left[1 + (1 - 2\alpha)\lambda \left(\frac{H^2}{M^2} \right)^{\alpha-1} \right] = \frac{8\pi G}{3} \rho. \quad (35)$$

Para $\alpha = 1/2$ nós voltamos para RG.

Exemplos

Exemplo 1: $8\pi Gf(Q) = Q - \frac{1}{36}(Q/m)^2$.

Nesse caso, a equação de Friedmann se torna

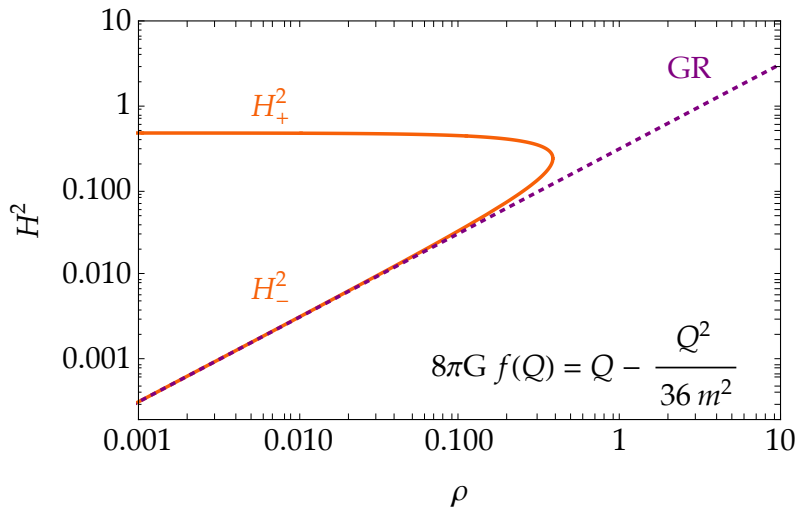
$$3H^2 \left(1 - \frac{H^2}{2m^2} \right) = 8\pi G\rho, \quad (36)$$

que resolvido para H^2 ,

$$H_{\pm}^2 = m^2 \left(1 \pm \sqrt{1 - \frac{16\pi G\rho}{3m^2}} \right). \quad (37)$$

A característica mais notável desta cosmologia é a existência de uma densidade máxima permitida no universo dada por $8\pi G\rho_{\max} = \frac{3}{2}m^2$, que é reforçada pela raiz quadrada.

Exemplos



Exemplos

Exemplo 2: $8\pi Gf(Q) = Q + M^4/Q$.

A equação de Friedmann se torna

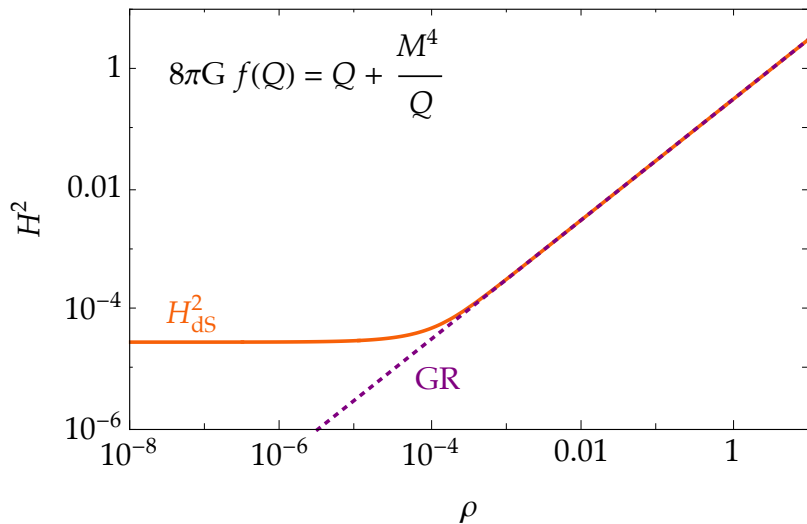
$$H^2 \left(1 - \frac{M^4}{12H^4} \right) = 8\pi G\rho, \quad (38)$$

com soluções para H^2 ,

$$H_{\pm}^2 = \frac{4\pi G}{3} \rho \left(1 \pm \sqrt{1 + \frac{3M^4}{64\pi^2 G^2 \rho^2}} \right). \quad (39)$$

A parte negativa não é física pois nos dá $H_-^2 < 0$. A parte física retorna a equação de Friedmann quando $\rho \gg M^2 M_{\text{Pl}}^2$, enquanto que para baixas densidades H^2 se aproxima da constante $H_{\text{dS}}^2 = \frac{M^2}{2\sqrt{3}}$ correspondendo a uma solução de de Sitter assintótica.

Exemplos



Conclusão

- Vimos do que se trata a teoria de gravidade modificada baseada na não-metricidade, conhecida como STEGR.
- Modelos de não-metricidade não se diferenciam dos modelos de torção no nível de *background*.
- Diferente de modelos $f(T)$, não há problemas de *couplings* em STEGR em *background* de FLRW.
- É o modelo menos explorado, porém em comparação com modelos de torção, há diversas vantagens.

Referências



Jimenez, J. B., Heisenberg, L., & Koivisto, T. S. (2019).
The geometrical trinity of gravity.
[1903.06830](#).



Jiménez, J. B., Heisenberg, L., & Koivisto, T. (2018).
Coincident general relativity.
Physical Review D, 98(4).



Jiménez, J. B., Heisenberg, L., Koivisto, T., & Pekar, S. (2020).
Cosmology in $f(Q)$ geometry.
Physical Review D, 101(10).